

دراسة تأثير الملح المزدوج ($KAl(SO_4)_2 \cdot 12H_2O$) في سلوك التآكل للفولاذ واطئ الكاربون

باسم محبسن محمد الزبيدي

جامعة بابل / كلية هندسة المواد / قسم هندسة المواد المعدنية

الخلاصة :

البحث الحالي تضمن دراسة تأثير إضافة الملح المزدوج ($KAl(SO_4)_2 \cdot 12H_2O$) على سلوك التآكل للفولاذ واطئ الكاربون باستخدام طريقة الغمر البسيط في محليل مائة للملح المزدوج بنسب مختلفة في درجة حرارة الغرفة ومحلو حامضي في درجات حرارة (RT, 40, 50 °C). وقد تم استخدام طريقة التغير في الوزن كقياس لتآثر الفولاذ بالأوساط المختلفة، ورسمت العلاقات بين الوزن المفقود لوحدة المساحة وزمن التعرض للأوساط التآكليّة، وكذلك استخدام التصوير بالمجهر الضوئي بقوة تكبير (600X) لدراسة طوبوغرافية سطح العينات.

أظهرت النتائج التي تم التوصل إليها أن إضافة الملح المزدوج ($KAl(SO_4)_2 \cdot 12H_2O$) إلى الماء الاعتيادي يزيد معدل التآكل كما تتحفظ مقاومة التآكل بزيادة نسبته في المحلول.

أما بالنسبة للسلوك التآكلي في المحلول الحامضي بدرجة حرارة الغرفة فوجد أن الملح المزدوج يعمل على تقليل معدل التآكل وقيمة هذا النقصان تزداد بزيادة نسبة ($KAl(SO_4)_2 \cdot 12H_2O$) حتى الوصول إلى نسبة (0.5 wt%) بسبب وجود أيونات (Al^{3+}) في المحلول بعدها تزداد بسبب زيادة تركيز أيونات (SO_4^{2-}). وعند زيادة درجة الحرارة لوحظ زيادة كبيرة في مستويات التآكل لكون التآكل تفاعلاً كيميائياً يعتمد على درجة الحرارة، لكن السلوك العام في انخفاض معدل التآكل بزيادة نسبة الملح المزدوج ثم ارتفاعه من جديد لم يتغير إلا بصورة طفيفة عن حاله في درجة حرارة الغرفة.

The Effect of ($KAl(SO_4)_2 \cdot 12H_2O$) on the Corrosion Behavior of the Low Carbon Steel

Basem Mohysen Mohammed

Babylon University/College of Materials Eng./Metal Mat. Eng. Dep.

Abstract:

This work included study of the effect of the salt ($KAl (SO_4)_2 \cdot 12H_2O$) on the corrosion behaviour of the low carbon steel using the simple immersion method in aqueous solution with different percentages of the salt ($KAl (SO_4)_2 \cdot 12H_2O$) at room temperature and acidic solution (3 vol.% HCl) at temperatures (RT, 40 , 50 °C) The

weight loss method used as an indicator to the effect of the solutions on the low carbon steel ,The microscopic examination with (600 X) is used in this study too.

The results of effects of addition of the salt ($KAl(SO_4)_2 \cdot 12H_2O$) to the natural water showed an increase in corrosion rate and decrease in corrosion resistance with increasing salt concentration . In the other hand the corrosion behaviour in (3vol% HCl) solution at room temperature show that the addition of $(KAl(SO_4)_2 \cdot 12H_2O)$ decreases the corrosion rate and this decreasing continue with increasing the concentration up to (0.5 wt.% $(KAl(SO_4)_2 \cdot 12H_2O)$) because of the presence of (Al^{3+}) ions in the solution, after that corrosion rate increases because of increasing of (SO_4^{2-}) ions concentration. The increasing of temperature increases the corrosion levels because the corrosion is a chemical reaction depends on temperature ,but the general behaviour of decreasing corrosion.

المقدمة :

لقد ازداد استخدام المعادن من قبل الدول مع تطور التكنولوجيا والاقتصاد ، و بعد استهلاك المعادن بواسطة العوامل الجوية المشكلة الأساسية للشركات الصناعية (Ayşe TOSUN, Mübeccel ERGUN,2006) إذ إن المعدات التي تتلف سنويًا بسبب عملية التآكل تقدر بbillions of dollars لذا فمن الضروري دراسة هذه الظاهرة وبيان العوامل المسببة لحدوثها من أجل الوصول إلى الأساليب الكفيلة للسيطرة عليها.

إن المعادن والسبائك التي تكون على تماس مع الماء تكون عرضة للتآكل بسبب عدم إستقراريتها термодинамическая في أنظمة التبريد. إن الطريقة الاعتيادية للحماية من التآكل هي إستخدام مواد أكثر تحملًا ، لكن هذه الطريقة غير ممكنة نظرًا للأسباب الاقتصادية و الصعوبة وسعة العملية كما في أنظمة التبريد . إن الطريقة الأكثر انتشاراً هي استخدام المثبطات لتقليل التآكل في هذه الظروف . والمثبطات ذات التأثير العالي والأوسع استخداماً هي (نتريت الصوديوم ، الموليبيدات، الخ) لكن من أهم مسؤولتها الكلفة العالية (Ayşe TOSUN, Mübeccel ERGUN,2006). مثبطات الكرومات تعد الأقدم بين المثبطات و الأكثر تأثيرا وقد استخدمت لأنظمة التبريد والتسميد، لكن استخدامها انخفض منذ عام (1970) في الكثير من البلدان بسبب التلوث الذي تسببه (Trinh Anh T. and others, 2002). لذا فقد أجريت دراسات وبحوث عديدة في مختلف أنحاء العالم تهدف إلى دراسة التآكل في الفولاذ الكاربوني ومحاولة الحد من تأثيره ومن هذه الدراسات: قيام (Trinh Anh T., Nadine P., To Thi Xuan H., Yves H. and Bernard B.,2002) بإجراء معاملة سطحية للفولاذ الكاربوني بواسطة محليل حاوية على الفوسفات ((TDP) and (MOP)) ، وقد درست الحماية من التآكل الناتجة من المركبات بواسطة قياس الإعارة الكهروكيميائية (Electrochemical impedance) . و وجد أن إضافة (MOP) إلى محليل الحاوية على (TDP) يولد تأثيراً مساعداً لتكوين الغشاء الواقي على سطح الفولاذ وان التركيز الأمثل الذي يعطي أفضل حماية هو (1.5% MOP) ويكون الغشاء الواقي مسامياً وله سمك بحدود ($10\mu m$).

أما (Yannik Garsany , Derek Petcher ,and Bill Hidges, 2003) فقد قاما بدراسة تأثير أيون الخلات على معدل التآكل للفولاذ الكاربوني (X65) في مياه البحر الحاوية على ثاني أوكسيد الكاربون . واستخدموا مقياس الفولتية (Voltammetry) على أقطاب بشكل قرص دوار . وظهر أن تركيب

الماء شديد الملوحة يشكل عاملًّا رئيسياً وأثبتت أن معدل تآكل الفولاذ يتعلّق بصورة واسعة بتركيز حامض الخليك غير المتنحل في الماء شديد الملوحة (ماء البحر).

في حين إن (Baigang AN , Xueyuan ZHANG ,Enhou HAN ,and Honxi LI 2004) درسوا تأثير الأس الهيدروجيني (pH) للمطر في سلوك التآكل و الإزالة للفولاذ الكاربوني (A3) عن طريق استخدام المحاكاة للمطر (Simulated rain) والفحص بمتقدمة (SEM) و (EIS) . وقد وجد أن معدل التآكل للفولاذ (A3) يزداد وعملية الإزالة بسبب تأثير المطر على سطح الفولاذ (A3) تتكثّف مع انخفاض قيمة (pH) لماء المطر الاصطناعي .

وفي العام ذاته قام (Oguzi E. E.,Unaegbu C.C. N.Ogukwe ,B. N.Okolue and A. I.Onuchukwu 2004) باستخدام طريقة الجاذبية (Gravimetric method) لدراسة الخواص التثبيطية للصباغ اللازوردي (indigo dye) خلال تآكل الفولاذ الطري (mild steel) في محليل حامض الكبريتني المهواء (Aerated sulphuric acid solutions) عند درجة حرارة (30–50°C). كما اختبر تأثير إضافة أملاح الهايليد كلوريド البوتاسيوم (KCl) و بروميد البوتاسيوم (KBr) و يوديد البوتاسيوم (KI) . وجّد أن معدل التآكل ارتفع في كل الأنظمة المدروسة مع ارتفاع درجة الحرارة. كما إن كفاءة التثبيط ازدادت مع زيادة تركيز الصباغ اللازوردي وكذلك تعمل إضافة أملاح الهايليد بالتعاون في زيادة كفاءة التثبيط. إن دراسة درجة الحرارة كشفت زيادة في كفاءة التثبيط في درجات الحرارة الأعلى، والذي يوحي بآلية امتصاص كيماوية (Chemisorption mechanism) .

من جانب آخر(Ayse TOSUN, andMubecel ERGUN, 2006) درسوا تأثير المثبطات المفردة والمزدوجة والثلاثية المكونة من خلط الكرومات و الموليبيدات و النترات و رباعي البورات و الاورتوفوسفات و البنزوات و الخلات وحامض الاسكوربيك على تآكل الفولاذ الكاربوني و أجريت في محلول مائي متوازن يحتوي (Cl⁻ 100 ppm) في درجة حرارة الغرفة ورسمت منحنيات التيار-الجهد باستخدام طريقة الجهد ألسكوني (Potentiostatic) وحسبت معدلات التآكل بطريقة استكمال تألف، كما درس تأثير درجة الحرارة بدرجات (30,40,50°C) والأس الهيدروجيني (pH) (5, 7, 9). وقد وجد أن تأثير المثبط يساوي (95%) في المحاليل التي تحتوي (50 ppm) من النترات كما وجد أن الأنظمة المزدوجة والثلاثية هي الأكثر تأثيراً.

و باستخدام طريقة الجاذبية (Gravimetric) قام (Ehteram A. Noor, 2007) بدراسة تأثير درجة الحرارة على تآكل الفولاذ الطري (mild steel) في محلول (2M HCl) و (2M H₂SO₄) في وجود وغياب الخلاصة المائية لأوراق نبات (Fenugreek) الذي يرمز له بـ (AEFL). كشفت النتائج بالنسبة لمحلول (2M HCl) أن كفاءة التثبيط تزداد مع زيادة تركيز المثبط لكن زيادة أو انخفاض في كفاءة المثبط اعتماداً على تركيزه يقوم مع زيادة درجة الحرارة. من جانب آخر فإن كفاءة التثبيط في محلول (2M H₂SO₄) تزداد مع زيادة كل من تركيز المثبط ودرجة حرارة محلول.

أما (D.Yonova and L.Fachikova , 2007) فقد درساً تأثير اونات الألمنيوم (Al³⁺) المضافة إلى المياه الاعتيادية على السلوك التآكري للفولاذ الكاربوني والفوّلاذ المكفل المستخدم في أجزاء معدات التدفئة. وجرى قياس معدل التآكل والجهد للفولاذ المكفلن في ماء ذو محتوى ملحى كلى بحدود (0.2g/l) وجود ايون (Al³⁺) بمقدار (0.6 mg/l) ، على الرغم من أن الأخير هو مثبط جيد نسبياً لتأكل

الحديد في نفس الوسط. إلا أنه لم يؤثر بصورة واضحة في تآكل الفولاذ المكافئ. كما ثبت أنه بوجود أيونات Al^{3+} يتبقى تأثير طلاء الخارصين الواقي حتى درجة حرارة بحدود (70°C) .

أما البحث الحالي فيهدف إلى دراسة تأثير الملح المذووج $\text{KAl}(\text{SO}_4)_2 \cdot 12\text{H}_2\text{O}$ على سلوك التآكل للفولاذ واطئ الكربون في الماء الاعتيادي والمحلول الحامضي $(\text{HCl} \text{ } 3\text{vol. \%})$ في درجات حرارة مختلفة باستخدام طريقة الغمر البسيط.

الجزء العملي :

تمت هذه الدراسة باستخدام سبيكة فولاذ واطئ الكاربون موضح تركيبها الكيميائي بالجدول (1) حيث تم إجراء التحليل في مختبرات شركة ابن سينا العامة وباستخدام تقنية Atomic Absorption وقطعت إلى عينات بشكل أفراد ذات أبعاد مبنية في الجدول (2). وقد أجريت عملية تهيئة العينات لغرض إجراء اختبارات التآكل، وبدأت بعملية التعيم باستخدام ورق تعيم من أوكسيد الألمنيوم ثم صقلت باستخدام جهاز الصقل الميكانيكي نوع HERGON، واستخدم في العملية مستحلب الألومينا (مسحوق الألومينا والماء)، كما غسلت وجففت العينات بالهواء الساخن بين كل عملية تعيم أو صقل وأخرى.

اختبارات التآكل:

من أجل دراسة السلوك التآكري للسبيكة جرت اختبارات التآكل باستخدام طريقة الغمر البسيط، وتخلص هذه الطريقة بغمر عينة موزونة وذات مساحة سطحية معروفة من السبيكة في الوسط التآكري لفترة معروفة من الزمن ثم وزنها بعد مضي هذه الفترة وذلك بعد رفعها من الوسط التآكري وغسلها جيداً بالماء المقطر والكحول بقصد تجفيفها، يحسب الفرق في وزن المعدن قبل وبعد غمره في الوسط التآكري مثلاً الكمية الذائبة نتيجة لعملية التآكل حيث تم إجراء هذا الاختبار في درجة حرارة الغرفة ودرجات حرارة ($40, 50^{\circ}\text{C}$) واستخدم حمام مائي وضع في دوارق الاختبار للحصول على هذه الدرجات الحرارية، وتضمنت أوساط التآكل المحلول المائي $\text{KAl}(\text{SO}_4)_2 \cdot 12\text{H}_2\text{O}$ solution و الحامضي $(\text{HCl} \text{ } 3\text{vol\%})$ ، من أجل المقارنة بين حالات التآكل المختلفة للفولاذ، بعد ذلك تم حساب المساحة السطحية للعينات قبل الاختبارات، كذلك تم قياس وزن العينات قبل إجراء اختبارات التآكل في الأوساط المختلفة بالاستعانة بميزان حساس (Sartorius) ألماني الصنع وبدقة (± 0.0001). ثم جرت اختبارات التآكل حيث غمرت العينات في المحاليل لفترات زمنية محددة، واستخرجت وغسلت بالماء المقطر وجففت باستخدام المحفف الكهربائي، وزنت العينات بعد عملية الغمر في المحاليل، وحسب التغير بالوزن لوحدة المساحة وقد أخذت عدة قراءات ثم رسمت العلاقة بين التغير في الوزن لوحدة المساحة وזמן التعرض للمحلول.

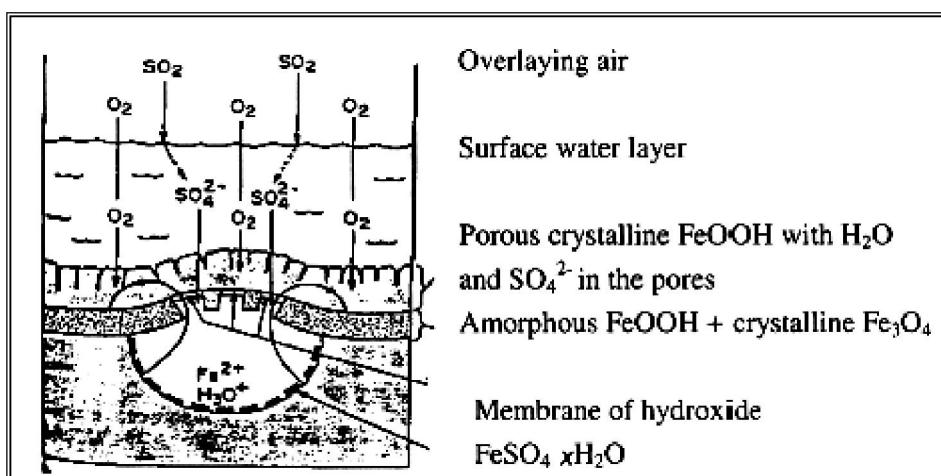
اختبار الفحص المجهرى:

اجري اختبار الفحص المجهرى لدراسة طبوغرافية سطح العينات المغمورة في المحاليل المستخدمة ذات نسبة $(\text{HCl} \text{ } 3 \text{ vol\%}) + (0.5 \text{ wt.\%})$ في درجات حرارة $(RT, 40^{\circ}\text{C}, 50^{\circ}\text{C})$ ، وباستخدام المجهر الضوئي نوع Union ME-3154 المجهز بكاميرا رقمية مرتبطة بالكمبيوتر أمكن من خلاها التقاط صور للسطح بقوة تكبير $(600X)$ ، بعد مشاهدتها على شاشة العرض الخاصة بالكمبيوتر.

النتائج والمناقشات :

الشكل(2) يوضح العلاقة بين الوزن المفقود لوحدة المساحة والزمن لعينات من الفولاذ واطئ الكاربون مغمورة في المحلول المائي ($KAl(SO_4)_2 \cdot 12H_2O$) بنسبة (0wt%,0.25wt%,0.5wt%,0.75wt%) حيث يلاحظ أن معدل التآكل يكون متذبذب بصورة عامة ويكون عاليًا في البداية لجميع الحالات ثم ما يليه أن ينخفض بصورة متفاوتة لكل نسبة من النسب ، و السبب هو كون الفولاذ في حالة الابتدائية نظيف ومعرض مباشرة للوسط التآكلي لذا يكون التآكل بأكبر حالاته وبمرور الزمن تترسب نواتج التآكل على السطح متساوية في انخفاض معدل التآكل ، ولا تطبقات الصدأ المتكونة على سطح الحديد و الفولاذ الكاربوني تكون مسامية وسيئة الالتصاق لذلك فان عملية تنظيف العينات تعمل على إزالة جزء من هذه الطبقات من سطح المعدن . كما أن التشققات في طبقات الصدأ شائعة وتتركز في المناطق الخارجية من الصدأ (Baigang AN, and others 2004) لذا فان عملية الإزالة تعمل على زيادة معدل التآكل من جديد وان كان بصورة قليلة وبتكرار هذه العملية يحصل التذبذب في معدل التآكل.

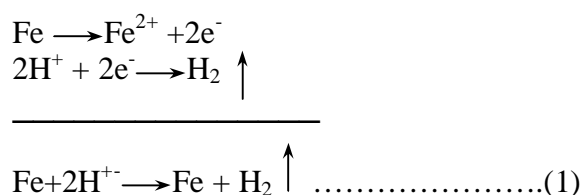
يكون ($FeOOH$) في طبقات الصدأ الطبيعية على سطح الحديد والفولاذ الكاربوني بأشكال بلورية متعددة ، حيث يكون الصنف السائد المستقر عامةً على شكل طبقات صدأ مكونة من منطقة داخلية كثيفة و ($FeOOH$) غير متبلور وبعض (Fe_2O_3) البلوري و بالاتجاه نحو الخارج يتواجد تجمع بلوري من (α - $FeOOH$, γ - $FeOOH$, γ - Fe_2O_3) . والشكل (1) يوضح خلية التآكل للصدأ المتكون على سطح الحديد و الفولاذ الكاربوني بوجود ايون الكبريتات. (Baigang AN , and others 2004)



الشكل (1) مخطط يوضح تداخل الكبريتات (Sulfate nest) وخلية التآكل (Baigang AN, and others 2004)

أما الشكل(3) فيوضح العلاقة بين نسبة الملح المزدوج ($KAl(SO_4)_2 \cdot 12H_2O$) في المحلول والفقدان في الوزن لوحدة المساحة عند زمن غمر مقداره (240 hrs.)، يلاحظ الزيادة الكبيرة في الوزن المفقود بمجرد إضافة نسبة (0.25 wt. %) من الملح المزدوج واستمرار الزيادة بصورة كبيرة بمضاعفة النسبة إلى (0.5 wt. %) لكن الزيادة في فقدان تكون طفيفة بزيادة النسبة إلى (0.75 wt. %) هذا السلوك مرده إلى وجود ايون الكبريتات (SO_4^{2-}) في المحلول حيث إن زيادة تركيز الايونات المتعددة في المحلول المائي سيعمل على اختزال الاوكسي هيدروكسيد ($FeOOH$) إلى ايون الحديد الثنائي ($Fe(II)$) القابل

للذوبان في المحلول، مما يساعد على استمرار عملية التآكل، كما إن الكبريتات من الممكن أن تجعل الفولاذ الكاربوني يكون تجمعات أو تداخلات الكبريتات (Sulfate nest) وكما موضح بالشكل (1)، وبذا يكون التآكل موضعياً مسبباً تأثيراً أقل في الوزن لكن زيادة في حجم التقرات (Baigang AN, and others 2004) أما العلاقة بين الوزن المفقود لوحدة المساحة للفولاذ واطئ الكاربون وזמן التعرض للوسط الحامضي (HCl 3 vol. %) مضاف إليه نسب مختلفة من ($KAl(SO_4)_2 \cdot 12H_2O$) (0.0%, 0.25%, 0.4%, 0.5%, 0.6%, 0.75%) في درجة حرارة الغرفة فمبينة بالشكل (4)، حيث يلاحظ أن معدل التآكل يكون عالياً نسبياً في بداية الاختبار لمعظم النسب للسبب المذكور سابقاً ، لا يلي أن ينخفض ليستمر المنحني في علاقة شبه خطية يكون معدل التآكل فيها ثابت تقريباً إن عدم وجود التذبذب في المنحنيات بعكس الحالة السابقة وخصوصاً في النسب الواطئة (0.0 , 0.25 wt. %) يمكن أن يعزى إلى وجود أيونات الهيدروجين (H^+) التي تستهلك الألكترونات و تعمل على تعجيل التفاعل من خلال تحولها إلى ذرات تتحدد فيما بينها وتتحول إلى فقاعات غازية تخرج خارج المحلول ، وحسب المعادلة التالية :



وبما إن حامض الهيدروكلوريك (HCl) يعمل على تخفيض الرقم الهيدروجيني ،حيث تتغير نواتج التآكل مع تغيير الرقم الهيدروجيني (pH) للمحلول ،فإذا كان الرقم أقل من (4) فان الأوكسي هيدروكسيد (FeOOH) ربما يختزل إلى ايون الحديد الثنائي(Fe(II)) القابل للذوبان في المحلول اعتماداً على مخطط (الجهد -الرقم Potential-pH diagram) (BaigangAN, and others2004) هذا كله يعمل على تقليل تراكم نواتج التآكل على سطح العينات مما يؤدي إلى استمرار التآكل . أما انخفاض معدل التآكل فسيبه وجود ايونات الألمنيوم (Al^{3+}) في المحلول والتي تعمل عمل المثبط (D.Yonova and L.Fachikova,2007) إضافةً إلى عمل ايونات الالهاليد (K^-) على زيادة كفاءة التثبيط (Oguzi E. E., and others 2004) وهذا ما يتضح في الشكل (5) حيث يلاحظ انه بزيادة نسبة ($KAl(SO_4)_2 \cdot 12H_2O$) ينخفض مقدار فقدان الوزن بثبات باقي الظروف (الغمر في الوسط التآكري لمدة (7hrs.)) وهذا الانخفاض يستمر حتى الوصول إلى نسبة بحدود (0.5-0.6wt. %) و السبب وجود ايونات (Al^{3+}) كما ورد أعلاه . إلا أن المحلول يحتوي أيضاً ايونات الكبريتات (SO_4^{2-}) التي يزداد تركيزها مع زيادة تركيز الملح المزدوج لذا فإنها تعمل على زيادة مستويات التآكل وهذا واضح في النسبة (0.75wt. %) رغم عدم الوصول إلى مستوى فقدان في المحلول الحامضي غير الحاوي على الملح المزدوج . وعند المقارنة نجد أن إضافة (0.5wt %) من الملح المزدوج إلى المحلول الحامضي قد ساهم في تقليل الوزن المفقود بنسبة (30%) عن الوزن المفقود في الماء الاعتيادي غير الحاوي على الملح المزدوج وتقليل الوزن المفقود بنسبة (71.2 %) عن الوزن المفقود في المحلول الحامضي غير الحاوي على الملح المزدوج عند زمن غمر (7 hrs.) بدرجة حرارة الغرفة .
 الشكلان (6) و (7) يبيزان العلاقة بين الوزن المفقود لوحدة المساحة للفولاذ وأطئ الكاربون وز من التعرض للوسط الحامضي (HCl 3vol%) مضاد إليه نسب مختلفة من ($KAl(SO_4)_2 \cdot 12H_2O$)

(0.0%,0.25%,0.4%,0.5%,0.6%,0.75%) على التوالي ، ويلاحظ من خلالهما حصول زيادة في معدل التآكل لمعظم نسب الإضافة خلال الثلاث ساعات الأولى من الاختبار ثم الاستقرار في معدل التآكل تقريباً بعد الساعة الثالثة . وكذلك فإن مستويات التآكل ترتفع بصورة واضحة عنها في درجة حرارة الغرفة والسبب كما هو واضح ارتفاع درجة الحرارة التي تعمل على زيادة سرعة تفاعل التآكل لكون التآكل تفاعل كيميائي يتأثر بدرجة الحرارة . كما إن تأثير النسبة المضافة من (KAl(SO₄)₂.12H₂O) موضحة بالشكل (8) الذي يبين سلوكاً مشابهاً أيضاً للسلوك في درجة حرارة الغرفة من حيث انخفاض الفقدان في الوزن لوحدة المساحة بارتفاع النسبة المضافة من الملح المزدوج حتى نسبة بحدود (0.4 wt %) ثم ارتفاع الوزن المفقود بزيادة النسبة المضافة وكلما درجتي الحرارة (40°C,50°C) لذات الأسباب المؤدية إلى هذا السلوك في درجة حرارة الغرفة . وعند المقارنة نجد أن إضافة (0.4 wt %) من الملح المزدوج إلى المحلول الحامضي قد ساهم في تقليل الوزن المفقود لوحدة المساحة بنسب (25.3 %) و (31.25 %) في درجتي الحرارة (40°C) و (50°C) على التوالي عن الوزن المفقود في المحلول الحامضي (3vol.% HCl) غير الحاوي على الملح المزدوج عند زمن عمر (7 hrs.) . ويلاحظ أيضاً الفرق الشاسع في مستويات الوزن المفقود في درجتي الحرارة (40°C) و (50°C) . هذا التأثير لدرجة الحرارة موضح أكثر في مخطط العلاقة بين مقلوب درجة الحرارة (1/T) ولوغاريتم معدل التآكل (log C.R.) المبين بالشكل (9) حيث يلاحظ الارتفاع الحاد في معدلات التآكل بارتفاع درجة الحرارة وهذا ما تنص عليه معادلة ارينوس حيث أن معدل التآكل يزداد بزيادة درجة الحرارة . ويلاحظ احتفاظ نسب الإضافة (0.4wt%- 0.6 wt%) بأدنى مستويات معدل التآكل .

الشكل (10) يبين صور مجهرية لطبوغرافية سطح العينات بعد مرور (7 hrs.) من الغمر في المحلول (KAl (SO₄)₂.12H₂O) + (3vol. % HCl) (0.5wt %) بقوة تكبير (600X). حيث تمثل (a) صورة للتآكل في درجة حرارة الغرفة (RT) و يلاحظ فيها آثار التآكل على شكل مناطق غامقة صغيرة . أما الشكلان (b) و (c) فتمثل آثار التآكل في درجات حرارة (40°C) و (50°C) على التوالي ويلاحظ هنا زيادة في حجم المناطق الغامقة مقارنة بالحالة السابقة دلالةً على زيادة في تأثير السطح بالتآكل بزيادة درجة الحرارة .

الاستنتاجات:

- 1 - إضافة الملح المزدوج (KAl(SO₄)₂.12H₂O) إلى الماء الاعتيادي يزيد معدل التآكل ولجميع نسب الإضافة .
- 2 - إضافة الملح المزدوج (KAl(SO₄)₂.12H₂O) إلى المحلول الحامضي (3vol% HCl) بنسبة (0.5 wt %) في درجة حرارة الغرفة يخضع الوزن المفقود لوحدة المساحة بنسبة (30%) وتقليل الوزن المفقود لوحدة المساحة بنسبة (71.2 %) عن الوزن المفقود لوحدة المساحة في المحلول الحامضي غير الحاوي على الملح المزدوج عند زمن عمر مقداره (7 hrs.) . أما في درجتي حرارة (40°C و (50°C) فإن نسبة الإضافة (0.4 wt %) تخضع الوزن المفقود لوحدة المساحة بنسبة (25.3 %) و (31.25 %) على التوالي ، بثبات باقي الظروف .

المصادر:

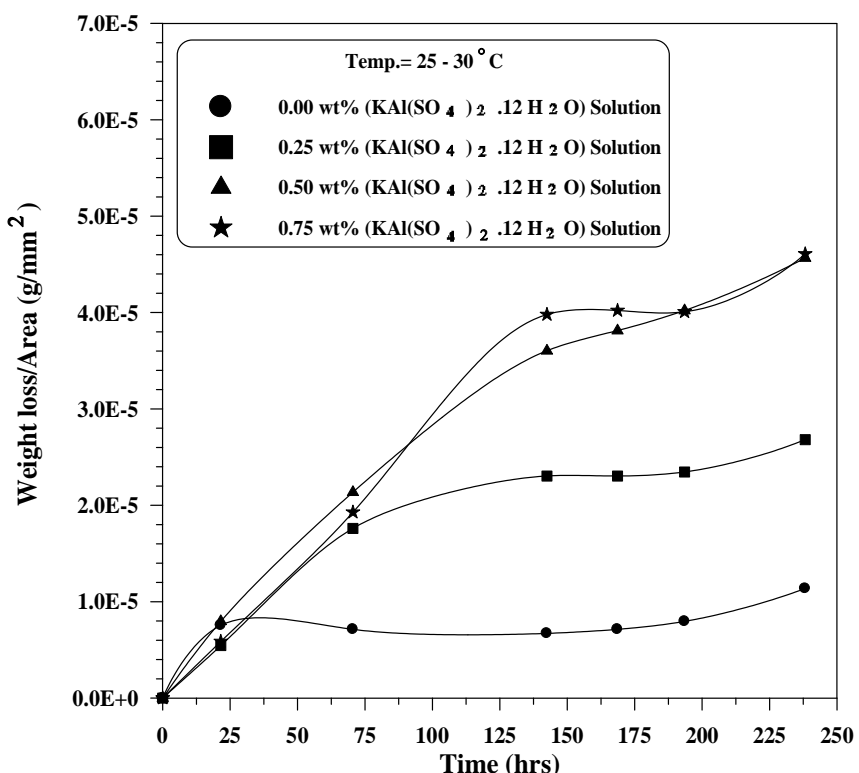
- Ayşe TOSUN, Mübeccel ERGUN, “Protection of Corrosion of Carbon Steel by Inhibitors in Chloride Containing Solutions” ,G. U. Journal of Science,19(3):149-154(2006)
On the web: [www.fbe.gazi.edu.tr/dergi/tr/dergi/tam/19\(3\)/2.pdf](http://www.fbe.gazi.edu.tr/dergi/tr/dergi/tam/19(3)/2.pdf)
- Baigang AN, Xueyuan ZHANG ,Enhou HAN ,and Honxi LI,” Corrosion and Runoff Behavior of Carbon Steel in Simulated Acid Rain”, J. Mater. Sci. Technol., Vol.20 No.2,220-222, 2004
On the web: www.jmst.org/PCN/qikan/manage/wenzhang/2002241.pdf
- D.Yonova and L.Fachikova,” Influence of Aluminium ions on Corrosion of Galvanized Steel Used in Heating Systems”, Journal of the University of Chemical Technology and Metallurgy, 42, 1, 2007, 73-76
On the web:www.uctm.edu/journal/j2007-1/12-Fachikov-73-76.pdf
- Ehteram A.Noor, ” Temperature Effects on the Corrosion Inhibition of Mild Steel in Acidic Solutions by Aqueous Extract of Fenugreek Leaves”, Int. J. Electrochem. Sci., 2 (2007) 996 – 1017
On the web:www.electrochemsci.org/papers/vol2/2120996
- Oguzzi E. E., Unaegbu C, C. N. Ogukwe , B. N.Okolue and A. I. Onuchukwu ,”Inhibition of mild steel corrosion in sulphuric acid using indigo dye and synergistic halide additives”, Materials Chemistry and Physics,84,363-368,2004.
On the web:www.sciencedirect.com/science?ob=ArticleURL&udi=B6TX4-4BHVHRP-5&user=10&rdoc=1&fmt=&orig=search&sort=d&view=c&acct=C000050221&version=1&urlVersion=0&userid=10&md5=70a440da5b8e56bda4fc2d3154bb4d66
- Trinh Anh T., Nadine P., To Thi Xuan H., Yves H. and Bernard B., “Study of the synergistic effect observed for the corrosion protection of a carbon steel by an association of phosphates “,Corrosion Science,44,2055-2071,2002.
On the web: www.sciencedirect.com/science?ob=ArticleURL&udi=B6TWS-454T5SJ-2&user=10&rdoc=1&fmt=&orig=search&sort=d&view=c&version=1&urlVersion=0&userid=10&md5=0bb55653ae6b7130d58c995b62e00f3c
- Yannik Garsany , Derek Petcher ,and Bill Hidges, “The Role of Acetate in CO₂ Corrosion of Carbon Steel:Studies Related to Oilfield Condition “,CORROSION2003 ,Paper No.03324,2003
On the web: www.nace.org/nacestore/assests/paperabstracts/2003/03324.pdf

الجدول (1) التركيب الكيميائي للسيبكة المستخدمة .

%Fe	%Cu	%Al	%Si	%Mn	%Cr	%C	التركيب السيبكة
Rem.	-	0.08	0.02	0.45	0.03	0.14	فولاذ (steel)

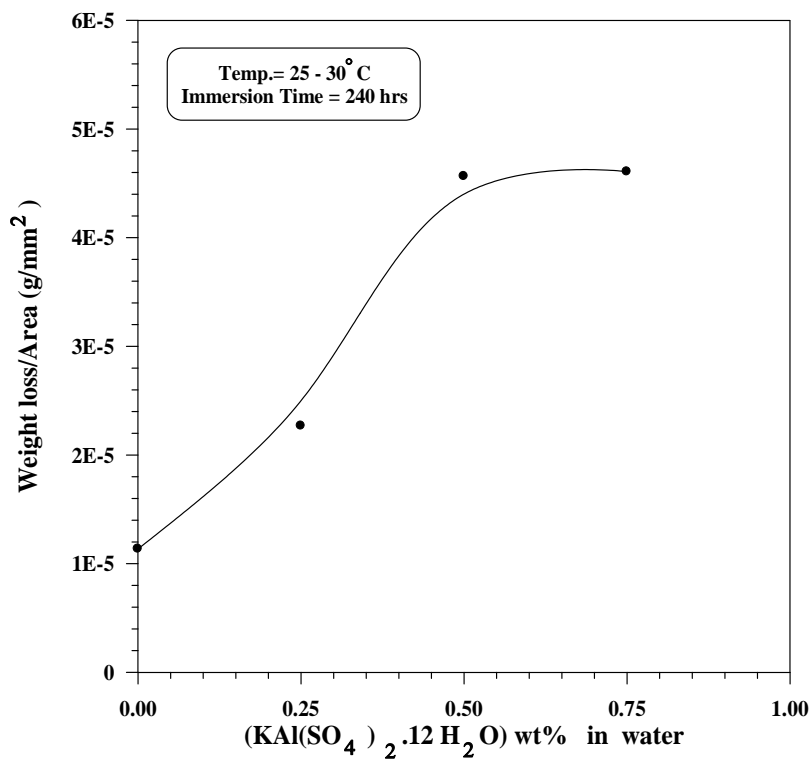
الجدول (2) أبعاد العينات المستخدمة وأوساط اختبارات التآكل .

وسط الاختبار	درجة الحرارة Temp.(°C)	أبعاد العينات		
		قطر الثقب d(mm)	سمك العينة t(mm)	قطر العينة D(mm)
KAl(SO ₄) ₂ .12H ₂ O solution	R.T \leq 30	2	2	14
(KAl(SO ₄) ₂ .12H ₂ O +3vol.% HCl) solution	R.T \leq 30	2	2	14
(KAl(SO ₄) ₂ .12H ₂ O +3vol.% HCl) solution	40	2	2	14
(KAl(SO ₄) ₂ .12H ₂ O +3vol.% HCl) solution	50	2	2	14

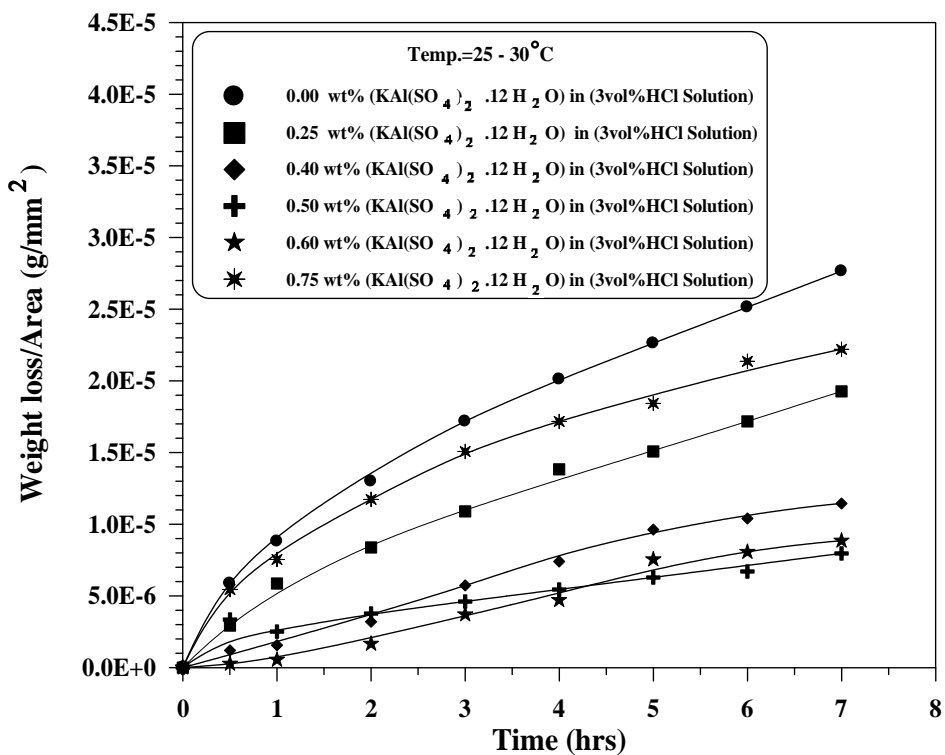


الشكل (2) العلاقة بين الزمن والوزن المفقود لوحدة المساحة لعينات من الفولاذ الكاربوني

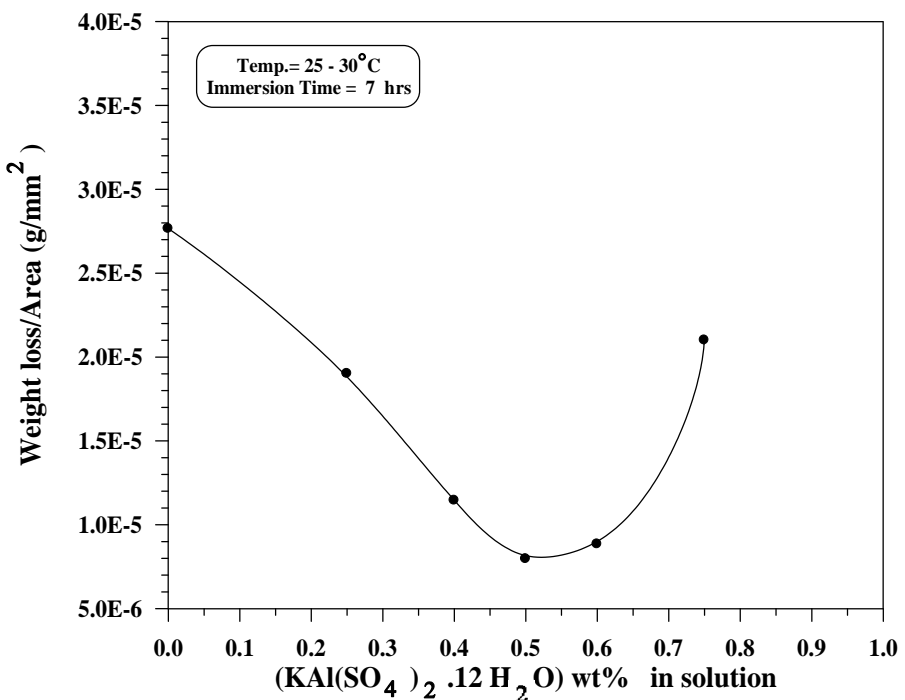
مغمورة في محلول (KAl(SO₄)₂.12H₂O) بنسب مختلفة



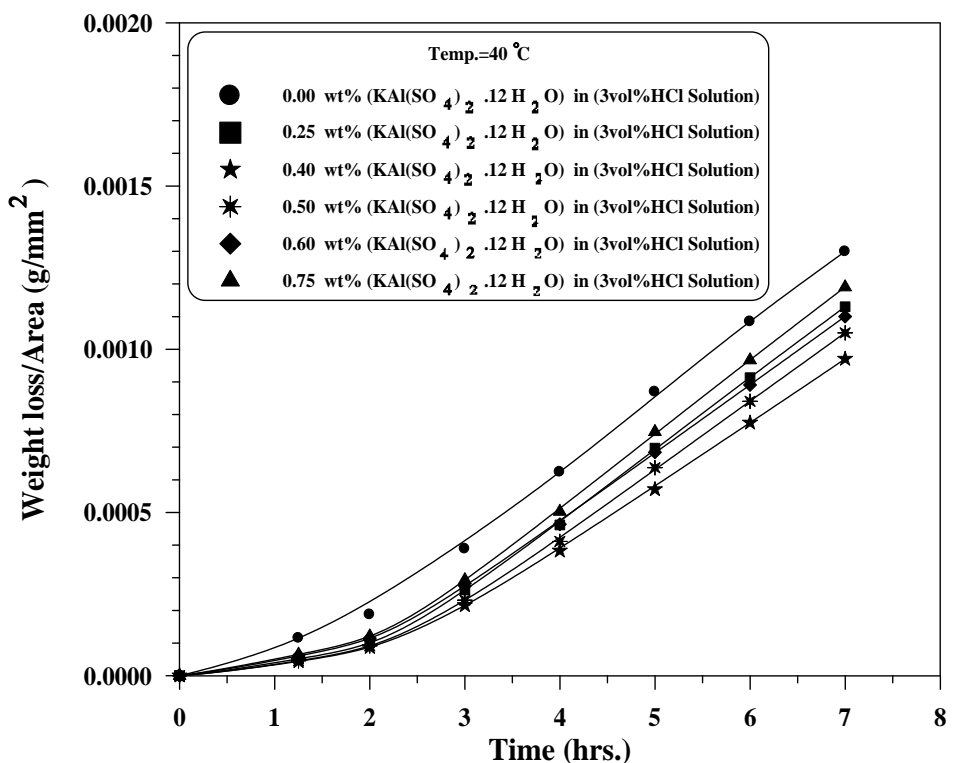
الشكل (3) العلاقة بين الوزن المفقود لوحدة المساحة لعينات من الفولاذ الكاربوني ونسبة ($\text{KAl}(\text{SO}_4)_2 \cdot 12\text{H}_2\text{O}$) في محلول



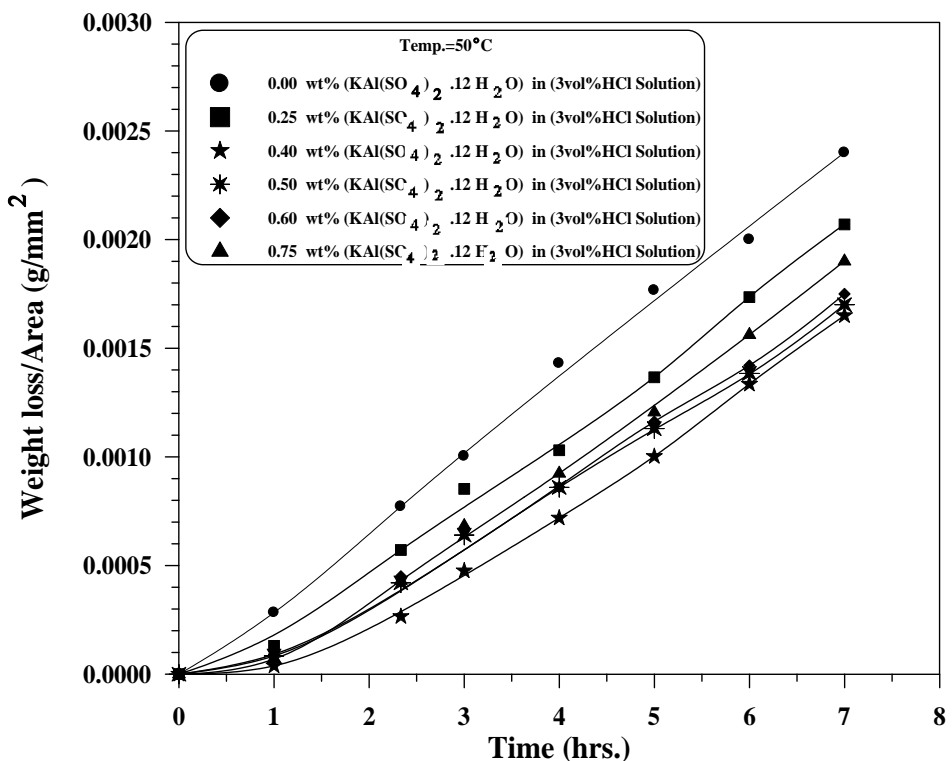
الشكل (4) العلاقة بين الزمن والوزن المفقود لوحدة المساحة لعينات من الفولاذ الكاربوني مغمورة في محلول (3vol% HCl) مضاد إليه ($\text{KAl}(\text{SO}_4)_2 \cdot 12\text{H}_2\text{O}$) بنساب مختلفة في درجة حرارة الغرفة



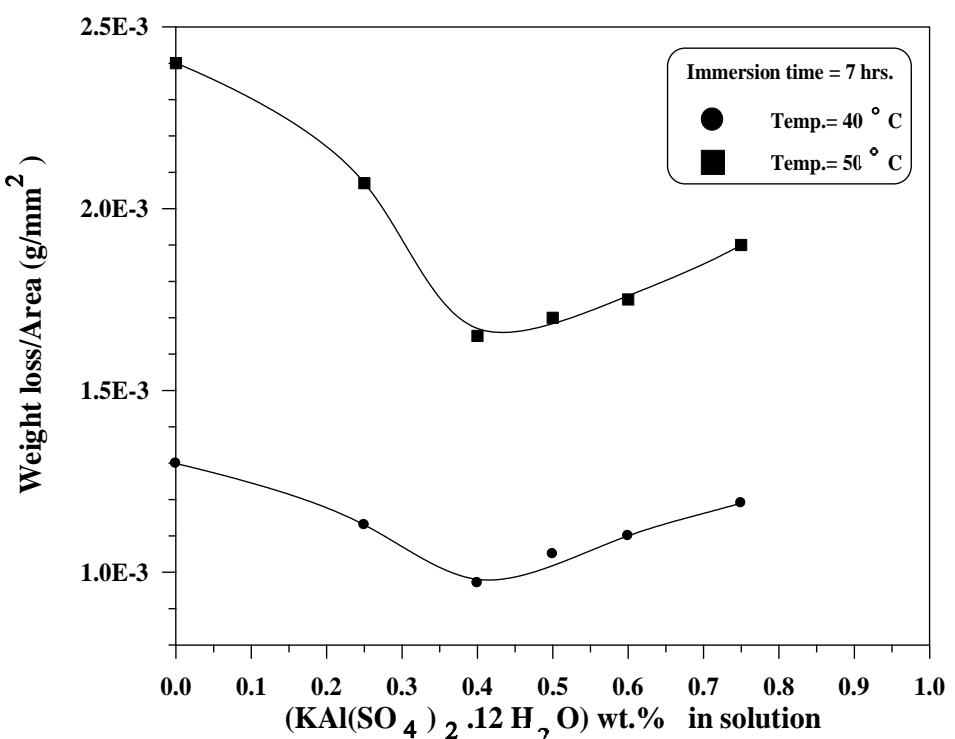
الشكل (5) العلاقة بين الوزن المفقود لوحدة المساحة لعينات من الفولاذ الكاربوني ونسبة محلول ($\text{KAl}(\text{SO}_4)_2 \cdot 12 \text{H}_2\text{O}$) في درجة حرارة الغرفة (3vol% HCl)



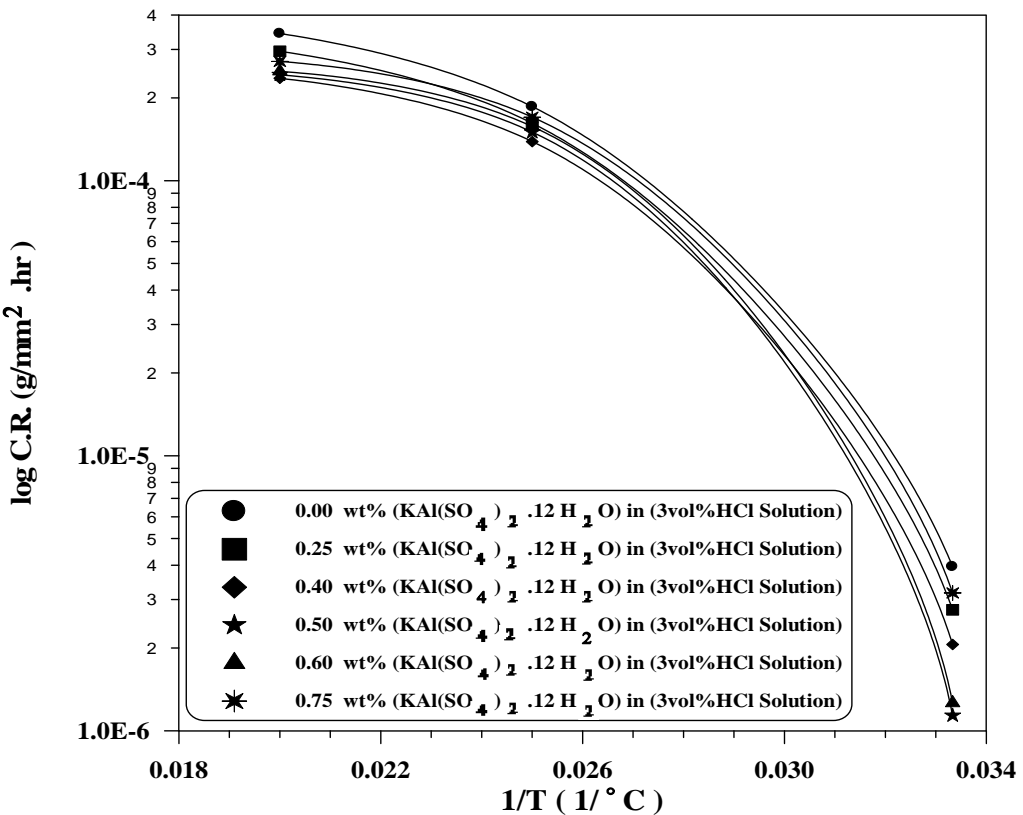
الشكل (6) العلاقة بين الزمن والوزن المفقود لوحدة المساحة لعينات من الفولاذ الكاربوني مغمورة في محلول (3vol% HCl) مضاد إليه ($\text{KAl}(\text{SO}_4)_2 \cdot 12 \text{H}_2\text{O}$) بحسب مختلفة في درجة حرارة (40°)



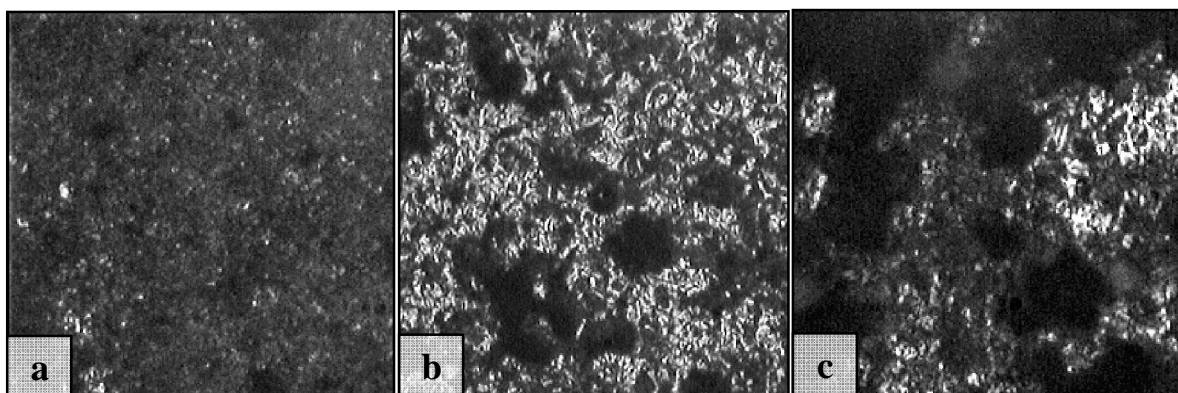
الشكل (7) العلاقة بين الزمن والوزن المفقود لوحدة المساحة لعينات من الفولاذ الكاربوني مغمورة في محلول (50°C) مضاد إليه (KAl(SO₄)₂.12H₂O) بنسبة مختلفة في درجة حرارة (C) (3vol% HCl)



الشكل (8) العلاقة بين الوزن المفقود لوحدة المساحة لعينات من الفولاذ الكاربوني ونسبة (40,50°C) في محلول (3vol% HCl) (KAl(SO₄)₂.12H₂O)



الشكل (9) العلاقة بين لوغاريتم معدل التآكل($\log C.R.$) ومقلوب درجات الحرارة($1/T$) لعينات من الفولاذ الكاربوني مغمورة في محلول (3vol% HCl) مضاد إليه ($KAl(SO_4)_2 \cdot 12H_2O$) بنساب مختلفة



الشكل (10) طوبوغرافية سطح عينات معرضة إلى ظروف مختلفة (قوة التكبير (600X))
(a) وسط تآكري (0.5 wt.% $KAl(SO_4)_2 \cdot 12H_2O + 3\text{vol\% HCl}$) عند زمن غمر (7 hrs.) بدرجة حرارة الغرفة
(b) وسط تآكري (0.5 wt.% $KAl(SO_4)_2 \cdot 12H_2O + 3\text{vol\% HCl}$) عند زمن غمر (7 hrs.) بدرجة حرارة $40^\circ C$
(c) وسط تآكري (0.5 wt.% $KAl(SO_4)_2 \cdot 12H_2O + 3\text{vol\% HCl}$) عند زمن غمر (7 hrs.) بدرجة حرارة $50^\circ C$